

Starkniederschlagshöhen und -spenden gemäß KOSTRA-DWD-2010R

Auswertungszeitraum von 1951 - 2010, Januar - Dezember

Rasterfeld: 27068

Zeile: 27

Spalte: 68

Seite: 1/2

| Dauerstufe D | | Wiederkehrzeit T | | | | | | | | | | | | | | | | | |
|--------------|-----|------------------|------------|------|------------|------|------------|------|------------|------|------------|-------|------------|-------|------------|-------|------------|-------|------------|
| | | 1 a | | 2 a | | 3 a | | 5 a | | 10 a | | 20 a | | 30 a | | 50 a | | 100 a | |
| min | Std | mm | l / (s ha) | mm | l / (s ha) | mm | l / (s ha) | mm | l / (s ha) | mm | l / (s ha) | mm | l / (s ha) | mm | l / (s ha) | mm | l / (s ha) | mm | l / (s ha) |
| 5 | | 5,4 | 180,0 | 6,9 | 230,0 | 7,8 | 260,0 | 8,9 | 296,7 | 10,5 | 350,0 | 12,0 | 400,0 | 12,9 | 430,0 | 14,0 | 466,7 | 15,6 | 520,0 |
| 10 | | 8,3 | 138,3 | 10,5 | 175,0 | 11,7 | 195,0 | 13,3 | 221,7 | 15,5 | 258,3 | 17,7 | 295,0 | 19,0 | 316,7 | 20,6 | 343,3 | 22,8 | 380,0 |
| 15 | | 10,1 | 112,2 | 12,8 | 142,2 | 14,3 | 158,9 | 16,3 | 181,1 | 19,0 | 211,1 | 21,7 | 241,1 | 23,2 | 257,8 | 25,2 | 280,0 | 27,9 | 310,0 |
| 20 | | 11,4 | 95,0 | 14,5 | 120,8 | 16,3 | 135,8 | 18,5 | 154,2 | 21,6 | 180,0 | 24,7 | 205,8 | 26,6 | 221,7 | 28,8 | 240,0 | 31,9 | 265,8 |
| 30 | | 13,0 | 72,2 | 16,8 | 93,3 | 19,0 | 105,6 | 21,8 | 121,1 | 25,6 | 142,2 | 29,4 | 163,3 | 31,6 | 175,6 | 34,4 | 191,1 | 38,2 | 212,2 |
| 45 | | 14,3 | 53,0 | 19,0 | 70,4 | 21,7 | 80,4 | 25,2 | 93,3 | 29,8 | 110,4 | 34,5 | 127,8 | 37,2 | 137,8 | 40,7 | 150,7 | 45,3 | 167,8 |
| 60 | | 15,1 | 41,9 | 20,5 | 56,9 | 23,7 | 65,8 | 27,6 | 76,7 | 33,0 | 91,7 | 38,5 | 106,9 | 41,6 | 115,6 | 45,6 | 126,7 | 51,0 | 141,7 |
| 90 | | 16,5 | 30,6 | 22,6 | 41,9 | 26,1 | 48,3 | 30,6 | 56,7 | 36,7 | 68,0 | 42,8 | 79,3 | 46,4 | 85,9 | 50,9 | 94,3 | 57,0 | 105,6 |
| 120 | 2 | 17,5 | 24,3 | 24,1 | 33,5 | 28,0 | 38,9 | 32,9 | 45,7 | 39,6 | 55,0 | 46,2 | 64,2 | 50,1 | 69,6 | 55,0 | 76,4 | 61,6 | 85,6 |
| 180 | 3 | 19,1 | 17,7 | 26,6 | 24,6 | 31,0 | 28,7 | 36,5 | 33,8 | 44,0 | 40,7 | 51,4 | 47,6 | 55,8 | 51,7 | 61,3 | 56,8 | 68,8 | 63,7 |
| 240 | 4 | 20,3 | 14,1 | 28,5 | 19,8 | 33,2 | 23,1 | 39,2 | 27,2 | 47,4 | 32,9 | 55,5 | 38,5 | 60,3 | 41,9 | 66,3 | 46,0 | 74,5 | 51,7 |
| 360 | 6 | 22,2 | 10,3 | 31,3 | 14,5 | 36,7 | 17,0 | 43,5 | 20,1 | 52,7 | 24,4 | 61,9 | 28,7 | 67,3 | 31,2 | 74,0 | 34,3 | 83,2 | 38,5 |
| 540 | 9 | 24,2 | 7,5 | 34,5 | 10,6 | 40,6 | 12,5 | 48,2 | 14,9 | 58,6 | 18,1 | 69,0 | 21,3 | 75,0 | 23,1 | 82,7 | 25,5 | 93,0 | 28,7 |
| 720 | 12 | 25,7 | 5,9 | 37,0 | 8,6 | 43,6 | 10,1 | 51,9 | 12,0 | 63,2 | 14,6 | 74,5 | 17,2 | 81,1 | 18,8 | 89,4 | 20,7 | 100,7 | 23,3 |
| 1080 | 18 | 28,0 | 4,3 | 40,8 | 6,3 | 48,2 | 7,4 | 57,6 | 8,9 | 70,3 | 10,8 | 83,0 | 12,8 | 90,5 | 14,0 | 99,9 | 15,4 | 112,6 | 17,4 |
| 1440 | 24 | 29,8 | 3,4 | 43,7 | 5,1 | 51,8 | 6,0 | 62,0 | 7,2 | 75,8 | 8,8 | 89,7 | 10,4 | 97,8 | 11,3 | 108,0 | 12,5 | 121,9 | 14,1 |
| 2880 | 48 | 35,7 | 2,1 | 50,2 | 2,9 | 58,8 | 3,4 | 69,5 | 4,0 | 84,1 | 4,9 | 98,7 | 5,7 | 107,2 | 6,2 | 118,0 | 6,8 | 132,6 | 7,7 |
| 4320 | 72 | 39,6 | 1,5 | 54,6 | 2,1 | 63,4 | 2,4 | 74,4 | 2,9 | 89,4 | 3,4 | 104,5 | 4,0 | 113,2 | 4,4 | 124,3 | 4,8 | 139,3 | 5,4 |

Angaben in mm: Bemessungsniederschlagswerte h(n)

Angaben in l / (s ha): Regenspende R(n) mit $R(n) = h(n) \times 1,666667 / D[\text{min}]$

Toleranzbereiche:

+/- 10 % für $1 \text{ a} \leq T \leq 5 \text{ a}$

+/- 15 % für $5 \text{ a} < T \leq 50 \text{ a}$

+/- 20 % für $50 \text{ a} < T \leq 100 \text{ a}$

Datenbasis: KOSTRA-DWD-2010R des Deutschen Wetterdienstes. Die Regenspende wurde auf Basis des Bemessungsniederschlags zur jeweiligen Andauer berechnet.

Für die Richtigkeit und Aktualität der Angaben wird keine Gewähr übernommen. Erstellt 07/2022.

Starkniederschlagshöhen und -spenden gemäß KOSTRA-DWD-2010R

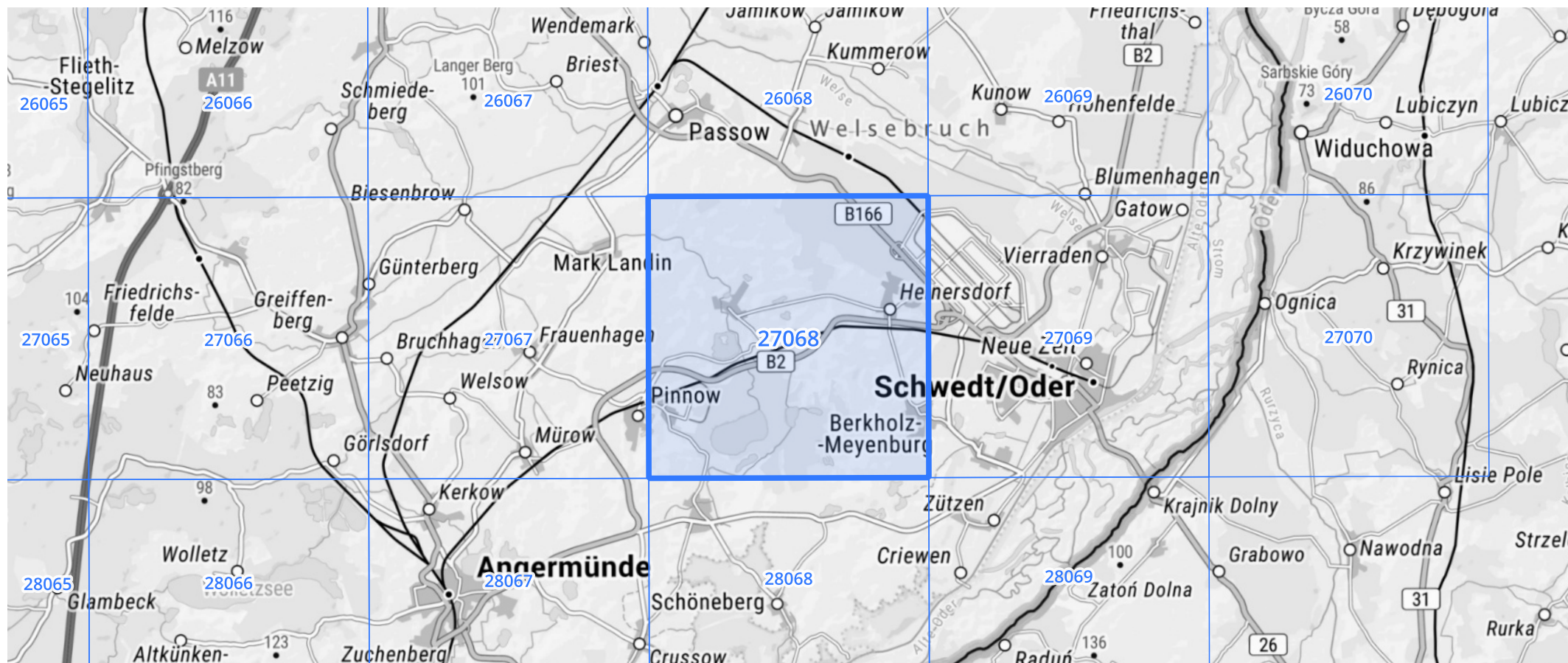
Auswertungszeitraum von 1951 - 2010, Januar - Dezember

Rasterfeld: 27068

Zeile: 27

Spalte: 68

Seite: 2/2



Quelle Rasterdaten: KOSTRA-DWD-2010R des Deutschen Wetterdienstes.

Kartendarstellung: © Bundesamt für Kartographie und Geodäsie (2022), Datenquellen: https://sgx.geodatenzentrum.de/web_public/gdz/datenquellen/Datenquellen_TopPlusOpen.html

Für die Richtigkeit und Aktualität der Angaben wird keine Gewähr übernommen. Erstellt 07/2022.